

تأثیر اریترومایسین و کلاریترومایسین بر روی عبور روده ای دیگوکسین

پروین ذاکری میلانی^{*}^{۱،۲}، هادی ولیزاده^۳^{۱،۲}، زبیا اسلامبولچیلار^۱، مریم مهتری^۱، ساناز دامنی^۱

^۱ دانشکده داروسازی دانشگاه علوم پزشکی تبریز، تبریز، ایران، ^۲ مرکز تحقیقات کاربردی دارویی دانشگاه علوم پزشکی تبریز، تبریز، ایران، ^۳ شرکت داروسازی زهراوی، تبریز، ایران

تاریخ دریافت: ۸۷/۵/۲۹، تاریخ پذیرش: ۸۷/۱۰/۲۱

Effect of erythromycin and clarithromycin on the intestinal transport of digoxin

Zakeri-Milani P.^{1,2*}, Valizadeh H.^{1,2,3}, Islambulchilar Z.¹, Mehtari M.¹, Damani S.¹

¹ Faculty of Pharmacy, Tabriz University of Medical Sciences, Tabriz, Iran. ² Drug Applied Research Center, Tabriz University of Medical Sciences, Tabriz, Iran. ³ Zahravi Pharmaceutical Co. Tabriz, Iran

Received: 19 Aug. 2008, Accepted: 10 Jan. 2009

Objectives: The purpose of the study was determining the intestinal permeability of digoxin using the SPIP technique and a range of concentrations in rats and assessing the quantitative contribution of P-gp-mediated efflux in limiting the oral bioavailability of digoxin using erythromycin and clarithromycin as inhibitors of P-gp efflux transporter. Moreover the enhancing effects of the investigated macrolides on digoxin absorption were compared. **Methods:** The study was performed on jejunal segment of rat. The cannulated segment was perfused by drug solution and samples were obtained from outlet tubing and the remaining drug was assayed. A reverse-phase HPLC method was used for analysis of all samples. **Results:** Although there were no differences among the obtained permeability coefficients in different concentrations of digoxin, erythromycin and clarithromycin significantly increased the intestinal transport of digoxin ($p<0.05$). Moreover there was no significant difference between clarithromycin and erythromycin effects on digoxin absorption ($P>0.05$). **Conclusion:** At least part of interactions between digoxin and macrolide antibiotics occurs in absorption level. Digoxin can rightly be classified as a low solubility-high permeability Class II BCS drug and its absorption from oral formulations could be affected by erythromycin and clarithromycin. Therefore in dose adjustment for patients using both digoxin and erythromycin or clarithromycin, this important interaction must be considered.

Key words: Transport, erythromycin, clarithromycin, permeability, P-gp, digoxin.

زمینه و هدف: نفوذپذیری روده‌ای یا توانایی مولکول دارو برای عبور از غشاء‌های بیولوژیکی یکی از فاکتورهای مهم بیوفارماسیوتیکسی برای بررسی جذب دارو و مکانیسم‌های دخیل در آن می‌باشد. اخیراً نقش ترانسپورترهای انتقال به خارج (Efflux) در تعیین نفوذپذیری و بهره‌دهی درمانی داروها بسیار مورد توجه بوده است. در تحقیق حاضر نقش مهاری P-gp بر میزان جذب دیگوکسین با استفاده از اریترومایسین و کلاریترومایسین معنوان مهارکننده های پمپ برگشتی روده ای بصورت کمی مورد مطالعه قرار گرفته است تا ضمن بررسی مکانیزم تداخل، قدرت تاثیر این دو مکروولید بر جذب روده ای دیگوکسین نیز مورد مقایسه قرار گیرد. **روشها:** برای انجام آزمایشات از ژئونوم کانوله شده موش صحرایی استفاده شده است. بدین صورت که بخش مورد نظر با محلول دیگوکسین با غلظتها مختلف (۲۰، ۱۵، ۱۰ و ۵ میکروگرم بر میلی لیتر) همراه با بدون مکروولید مورد بررسی پرفوژه شده و نمونه گیری از کانول خروجی انجام و داروی باقیمانده در روده اندازه گیری گردیده است. برای تعیین مقدار دارو در کلیه نمونه ها از روش کروماتوگرافی فاز معکوس استفاده شده است. **یافته ها:** نفوذپذیری روده‌ای دیگوکسین در هر چهار غلظت بکار رفته از آن در حضور اریترومایسین و کلاریترومایسین افزایش قابل توجهی یافته است. **یافته ها:** نفوذپذیری روده‌ای دیگوکسین به غلظتها مختلف به کار برده از دیگوکسین مشاهده نشد که نشانده‌نده عدم وابستگی نفوذپذیری دیگوکسین به غلظت است. بعلاوه اختلاف معنی داری در میزان قدرت اثر کلاریترومایسین و اریترومایسین بر جذب روده ای دیگوکسین مشاهده نگردید ($P>0.05$). **نتیجه گیری:** بر اساس نتایج حاصله حداقل بخشی از تداخلات بالینی مشاهده شده مایبن اریترومایسین و دیگوکسین همچنین کلاریترومایسین و دیگوکسین، به تداخل آنها در سطح جذب مربوط است. بعلاوه براساس داده های بدست آمده دیگوکسین در کلاس II سیستم (محلولیت کم و نفوذپذیری بالا) جای گرفته و جذب آن تحت تاثیر اریترومایسین و کلاریترومایسین قرار می گیرد. بنابراین در تجویز همزمان مکروولیدها با دیگوکسین و در تنظیم دوز دارویی باید به این تداخل مهم توجه نمود.

واژه های کلیدی: ترانسپورت، اریترومایسین، کلاریترومایسین، نفوذپذیری، P-gp، دیگوکسین.

*Corresponding author: Parvin Zakeri-Milani, Faculty of Pharmacy, Tabriz University of Medical Sciences, Tabriz, Iran. Tel: +98-411-339-2593; Fax: +98-411-334-4798; E-mail: pzakeri@tbzmed.ac.ir

نویسنده مسئول: پروین ذاکری میلانی، استادیار، دانشکده داروسازی دانشگاه علوم پزشکی تبریز، تلفن: ۰۴۱-۳۳۹۲۵۹۳، نمبر: ۰۴۱-۳۳۴۴۷۹۸

۱- مقدمه

(gp) بهره دهی درمانی دارو را از ۶۸/۵٪ به ۷۹/۱٪ افزایش داده است (۱۲) در حالیکه در مطالعه بالینی دیگر این افزایش چشمگیر نبوده است (از ۷۳/۵٪ به ۷۹/۳٪) (۱۳). علاوه نشان داده شده است که توزیع P-gp در سراسر روده یکنواخت نبوده و از معده به کولون افزایش می یابد (۲). بنابراین عده ترین محل جذب دارو در مصرف خوراکی قسمت فوکانی روده باریک می باشد که میزان کمتری از این گلیکوپروتئین را دارد. لذا بنظر میرسد که توزیع ناهمگون P-gp نیز تاثیر چشمگیری بر جذب دیگوکسین داشته باشد (۲). مشاهدات بالینی نشان می دهد که شماری از ترکیبات در صورت مصرف همزمان با دیگوکسین باعث بروز تداخل دارویی با آن می گرددند. از بین این ترکیبات آنتی بیوتیکهای ماکرولیدی را می توان نام برد که تحت عنوان مهار کننده های P-gp شناخته شده‌اند (۱۴، ۱۵). در اغلب موارد این تداخل منجر به افزایش حدود دو تا سه برابر در غلظت سرمی دیگوکسین شده است. تداخل دیگوکسین با ماکرولیدها می تواند ناشی از مهار P-gp در روده، کبد، یا کلیه باشد. مطالعات قبلی انجام شده در زمینه تداخل دیگوکسین - ماکرولیدها اغلب بالینی بوده و هیچگونه مطالعه کنترل شده ای در حیوانات آزمایشگاهی به صورت in vivo یا در سطح مخصوص مکانیسم دقیق این تداخل که آیا در سطح جذب یا در سطح متابولیسم می باشد، وجود ندارد. بنابراین در تحقیق حاضر از داروی اریترومایسین و کلاریترومایسین عنوان مهار کننده های P-gp استفاده شده تا با تعیین نفوذپذیری روده ای دیگوکسین در حضور و عدم حضور آنها بتوان به میزان نقش مهاری P-gp و پدیده efflux در جذب دارو پی برد. بدین منظور از تکنیک پرفیوژن روده باریک موش صحرایی به روش single-pass استفاده خواهد شد. این روش معمولترین روش برای بررسی نفوذپذیری و کیتیک جذب داروهای دارویی است و از دقت و صحت بالایی برای پیش‌بینی جذب رودهای داروها در انسان برخوردار است (۱۶).

۲- مواد و روشها

۱- مواد بکار رفته

دیگوکسین (Boehringer Ingelheim, Germany)، فنل رد (St. Sigma Louis, Mo, U.S.A)، اریترومایسین و کلاریترومایسین (Elder Pharmaceutical LTD, India)، سدیم فسفات مونوبازیک (Merck, Germany) NaH₂PO₄، سدیم فسفات دی (Merck, Germany) Na₂HPO₄، استونیتریل (Merck, Germany)، متانول (Merck, Germany)، اورتوفسفریک اسید (Merck, Germany)

نفوذپذیری رودهای یا توانایی مولکول دارو برای عبور از غشاها بیولوژیکی یکی از فاکتورهای مهم بیوفارماسیوتیکسی برای بررسی جذب دارو و مکانیسم‌های دخیل در آن می باشد. اخیراً نقش ترانسپورترهای انتقال به خارج (Efflux) در تعیین نفوذپذیری و بهره‌دهی درمانی داروها بسیار مورد توجه بوده است. از جمله این ترانسپورترها می‌توان به Multidrug- resistance- protein (MDR) و (PCT) polyspecific cation transporter (MRP) Efflux P-gp اشاره کرد. P-glycoprotein (P-gp) یک پمپ وابسته به انرژی است که در محدوده وسیعی از بافت‌های طبیعی انسان و جوندگان از جمله سلول‌های اپی‌تلیال مجاری گوارشی، توبول‌های کلیوی، کبد، غدد آدرنال، چشم، بیضه و نیز سلول‌های اندوتلیال سد خونی - مغزی موجود است (۱). تعداد فزاینده‌ای از داروها به عنوان سویستراهای P-gp گزارش شده‌اند که یکی از مهمترین آنها دیگوکسین است که به طور معمول در درمان نارسایی احتقانی قلب مورد استفاده قرار می‌گیرد و بدلیل پنجره درمانی باریکش تداخل آن با دیگر داروها می‌تواند باعث بروز سمیت چشمگیر در انسان گردد (۲). بهره دهی درمانی این دارو در انسان متغیر می باشد (۳). عنوان مثال بازدهی بدنی درون فردی و بین فردی آن به ترتیب بین ۴۰-۹۰٪ (۴) و ۵۰٪ (۵) متغیر بوده است. فاکتورهای مربوط به فرمولاسیون نظیر سایز ذره ای، پلی مرفیسم و سن فراورده (مدت زمان سپری شده از تاریخ ساخت دارو) از مواردی هستند که "احتمالاً" با بهره دهی متغیر دارو در ارتباطند (۶). از آنجاییکه در استفاده از کپسولهای نرم ژلاتینی دیگوکسین به جای شکل دارویی قرص کاهش چندانی در میزان تغییرات بهره دهی درمانی مشاهده نشده است (۷)، لذا بنظر می‌رسد که سرعت انحلال به تنهایی دلیل قانع کننده ای برای این تغییر نباشد. علاوه بدلیل متابولیسم غیر قابل توجه دیگوکسین بعد از مصرف وریدی آن، عبور اول کبدی چشمگیری از دارو انتظار نمی‌رود (۸). از طرف دیگر بمنظ می‌رسد بدلیل لیپوفیلیستیه بالای دارو و نیز جذب خطی دیگوکسین در محدوده وسیعی از غلظت ، جذب آن از جدار روده از طریق دیفوژیون غیرفعال صورت پذیرد (۹). امروزه عقیده بر این است که بهره دهی درمانی ناقص و متغیر دیگوکسین احتمالاً به بیان و عملکرد متفاوت P-gp مربوط است (۱۰). با این وجود اهمیت این گلیکوپروتئین در کاهش جذب روده ای دیگوکسین در انسان کاملاً روشن نیست (۱۱). عنوان مثال در یک مطالعه انسانی مصرف همزمان دیگوکسین با کینیدین (عنوان مهارکننده P-

در دقیقه عبور داده شد. بعد از رسیدن به حالت پایدار (Steady State) به مدت حدوداً ۹۰ دقیقه نمونه گیری از لوله خروجی انجام گردید. در انتها از محلول دارویی موجود در بالن و محلول دارویی موجود در سرنگ نمونه گرفته شد، تا میزان جذب دارو در سرنگ نیز مشخص شود. حجم نمونه‌ها هر بار حدود ۲ میلی لیتر بود. پس از اتمام آزمایش طول قسمت کانوله شده اندازه‌گیری شده و سپس حیوان کشته شد. نمونه‌ها در دمای 20°C تا زمان آنالیز نگهداری شدند. در تمام مراحل کار با حیوان، اصول کتاب راهنمای مراقبت از حیوانات آزمایشگاهی که توسط کنسول کانادایی به چاپ رسیده است مورد تبعیت قرار گرفت (۱۹).

۲-۵: آنالیز نمونه‌ها

۲-۵-۱: روش آنالیز HPLC برای دیگوکسین

برای آنالیز دیگوکسین از روش HPLC (کروماتوگرافی مایع با کارابی بالا) که مشخصات آن در زیر آمده است استفاده گردید (۲۰):

ستون: C₈, Lichrosphere reverse phase select B 15cm, فاز متحرک: مخلوط ۷۴٪ آب و ۲۶٪ استونیتریل، سرعت جریان: ۲ میلی لیتر در دقیقه، طول موج: ۲۱۸ نانومتر و حجم تزریق: ۱۰۰ میکرولیتر.

۲-۵-۲: روش آنالیز HPLC برای نشانگر فنل رد

مشخصات سیستم بکار رفته برای آنالیز فنل رد بشرح زیر است: نوع ستون: Shimpak VP-ODS (C₁₈ 250×4.6 mm), ستون گارد: (C₁₈ 4.6×50 mm)، فاز متحرک: ۵٪ متانول در محلول پتانسیم دی هیدروژن فسفات ۰/۰۵ مولار که با اورتوفسفریک اسید به pH ۲/۶ رسیده باشد، سرعت جریان: ۱ میلی لیتر در دقیقه، طول موج: ۴۳۰ نانومتر و حجم تزریق: ۱۰۰ میکرولیتر.

۲-۶: محاسبه نفوذپذیری موثر

بعد از اندازه‌گیری غلظت دارو در محلول خروجی (C_{out}) این غلظت ابتدا به وسیله معادله ۱ نسبت به تغییرات غلظت فنل رد تصحیح شد:

$$\text{معادله ۱} \quad C_{\text{cor}} = C_{\text{out}} \left(\frac{C_{\text{P.R.}}}{C_{\text{P.R.}} + C_{\text{out}}} \right)$$

که در این فرمول C_{P.R.}_{out} و C_{P.R.}_{in} به ترتیب غلظت فنل رد در محلول ورودی و محلول خروجی می‌باشد. از آن جایی که فنل رد در روده جذب ندارد، بنابراین تغییرات غلظت آن به طور غیرمستقیم نشان دهنده میزان ورود یا خروج مولکول آب می‌باشد. به این ترتیب غلظت تصحیح شده (C_{cor}) غلظتی از دارو در محلول خروجی است که میزان نقل و انتقال ملکول‌های آب در آن لحظه شده است. با

Merck, Germany)، سدیم کلراید (Merck, Germany) اتیل اتر (Merck, Germany)، سدیم پتوباریتال (Merck, Germany)، اتانل ۹۶ درجه (بیدستان، ایران)، سالین نرمال (شهید قاضی، ایران).

۲-۲: دستگاههای بکار رفته

دستگاه HPLC شامل کنترل کننده سیستم Shimadzu SPD-10A (U.V-VIS) دتکتور SCL-10A (Shimadzu, Japan)، سونیکاتور LC-10AD (Shimadzu, Japan)، سرنگ همیلتون (Liarre, Italy)، ترازوی دیجیتالی با حساسیت ۰/۰۰۰۱ گرم (Coring, England)، دستگاه pH متر (Shimadzu, Japan)، پمپ خلاء (Edward, England)، پمپ انفوژیون سرنگدار (SP-500, Japan)، میز جراحی مخصوص حیوان Thermo Mantle (C.F. Palmer, England)، هیتر (Velp, Italy)، همزن مغناطیسی (Netherland).

۲-۳: تهیه محلول پرفیوژن

برای آماده سازی محلول پرفیوژن ابتدا محلول دیگوکسین ۲۰ میکرومولار در سالین بافر فسفاته (PBS) ایزوتونیک تهیه، سپس رقتها ۱۵ و ۱۰ و ۵ میکرومولار از آن فراهم شد. در محلولهای تست نیز علاوه بر دیگوکسین، اریتروماسین و یا کلاریتربوماسین با غلظت ۱۵۰ میکرومولار افزوده شد. بعنوان نشانگر غیر قابل جذب نیز از فنل رد با غلظت ۲۵۰ میلی گرم در لیتر استفاده گردید.

۲-۴: جراحی حیوان

برای انجام آزمایش، رت‌های نر از نژاد ویستار به وزن ۲۰۰-۳۰۰ گرم انتخاب و چند روز در آزمایشگاه به منظور عادت کردن به محیط نگهداری شدند. این رت‌ها حدود ۱۲-۱۸ ساعت قبل از انجام آزمایش گرسنه ماندند تا روده آنها از محتویات خالی گردد. لیکن تا یک ساعت قبل از جراحی آب کافی در اختیار آنها قرار داشت. آزمایشات پرفیوژن روده طبق روش گزارش شده در مقالات قبلی انجام گرفت (۱۷، ۱۸). بیهوشی حیوان توسط تزریق داخل صفاقی فنوباریتال به میزان ۶۰ میلی گرم بر کیلوگرم صورت گرفت. در طی آزمایش به منظور حفظ دمای بدن، حیوان روی تشک برقی قرار گرفت. بعد از برش پوست و لایه عضلانی شکم رت، حدود ۱۰ سانتیمتر از قسمت ابتدایی ژنونم کانوله شده و به منظور شستشوی آن سالین 37°C به مدت ۱۰ دقیقه از آن عبور داده شد تا مواد موجود در روده کاملاً تخلیه شده و محلول خروجی کاملاً "زلال" باشد. سپس محلول دارو با غلظتها ۱۵، ۲۰، ۱۰، ۵ میکرومولار، در حضور یا عدم حضور اریتروماسین و یا کلاریتربوماسین ۱۵۰ میکرومولار با سرعت ۰/۲ میلی لیتر

حضور ماکرولیدهای بکار رفته بصورت ضرایب نفوذپذیری روده ای محاسبه شده در جدول ۱ ذکر گردیده است همانگونه که در جدول ۱ مشاهده می شود نفوذپذیری روده ای دیگوکسین در گروه کنترل یعنی در عدم حضور ماکرولیدها از $10^{-5} \times 2/37$ سانتیمتر بر ثانیه (برای غلظت ۲۰ میکروگرم بر میلی لیتر) تا از $10^{-5} \times 3/16$ سانتیمتر بر ثانیه (برای غلظت ۱۵ میکروگرم بر میلی لیتر) متغیر بوده است. لیکن این اختلاف از نظر آماری معنی دار نبوده است ($P > 0.05$) بنابراین مقدار نفوذپذیری مؤثر دیگوکسین بطور میانگین $10^{-5} \times 2/87$ سانتیمتر بر ثانیه می باشد. بعلاوه در جدول ۱ مقدار نفوذپذیری بدست آمده برای دیگوکسین در حضور اریترومایسین و کلاریترومایسین نیز آورده شده است. برای مقایسه، نمودارهای ستونی مربوطه نیز در شکل ۲ آورده شده است.

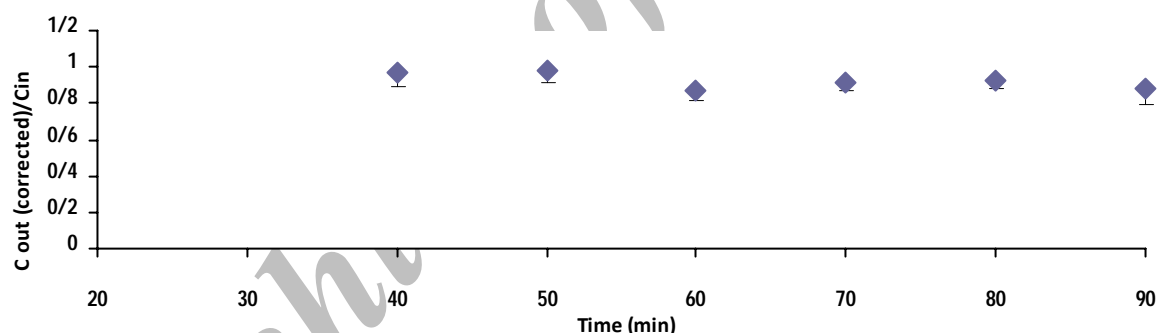
توجه به اینکه مدل جریان خطی (Laminar Flow) مناسبترین مدل در مورد حیوانات آزمایشگاهی می باشد، از فرمول زیر (معادله ۲) برای محاسبه نفوذپذیری موثر استفاده می شود (۲۲، ۲۳):

$$P_{\text{eff}} = -Q_{\text{in}} \ln(C_{\text{out}}/C_{\text{in}})/2\pi r l \quad \text{معادله ۲}$$

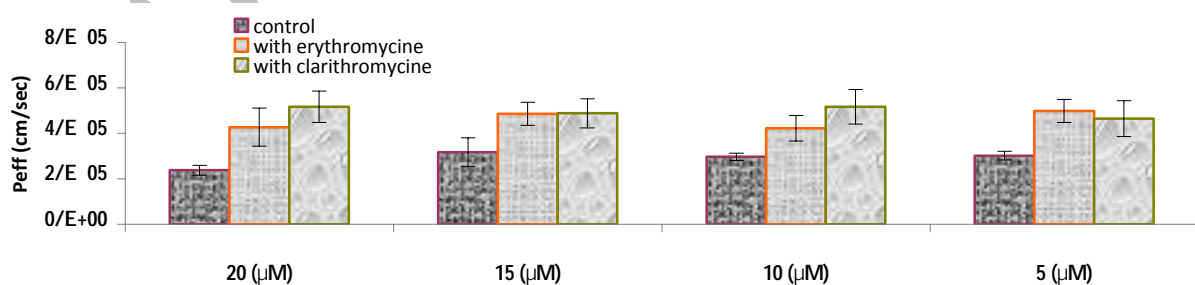
که در این فرمول C_{out} , C_{in} غلظت دارو در محلول ورودی و خروجی، Q_{in} سرعت جریان محلول دارویی در روده ($0/2$ میلی لیتر بر دقیقه)، $2\pi r l$ سطح تماس روده با محلول میباشد که ۲ ساعع روده رت ($0/18$ سانتی متر) و ۱ طول قسمت ایزوله شده (تقریباً 10 سانتی متر) می باشد.

۳-نتایج

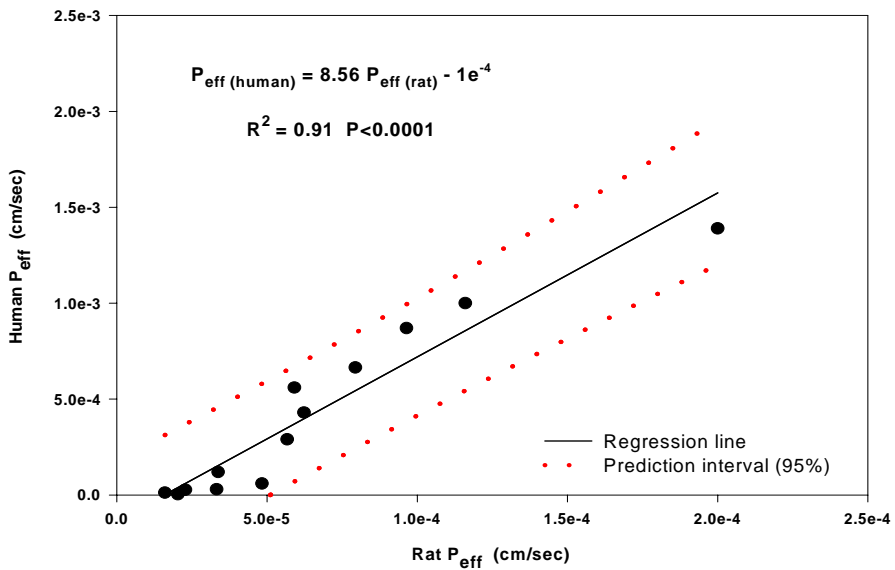
شکل ۱ نشاندهنده نسبت غلظت تصویح شده به غلظت ورودی $C_{\text{out}(\text{cor})}/C_{\text{in}}$ در زمانهای مختلف می باشد. نتیجه حاصل از بررسی نفوذپذیری دیگوکسین در حضور و عدم



شکل ۱. نمودار نسبت غلظت دیگوکسین در محلول خروجی به غلظت آن در محلول ورودی در گروه زمان در گروه کنترل برای غلظت ۲۰ میکروگرم بر میلی لیتر دارو



شکل ۲. مقایسه مقدار نفوذپذیری بدست آمده برای دیگوکسین در روده رت پروفیوژن در حضور و عدم حضور اریترومایسین و کلاریترومایسین



شکل ۳. نمودار نفوذپذیری روده ای (Peff) رت در برابر نفوذپذیری روده ای انسان برای ۱۴ مورد [۱۶]

جدول ۱. میانگین ضرایب نفوذپذیری روده ای دیگوکسین در غلظت های مختلف و در حضور اریترومایسین و کلاریترومایسین

P-value	میانگین نفوذپذیری مؤثر (cm/sec) (± SD)	گروه	غلظت (μM)
•/•••••٢٣٧	(± •/•••••٢١٩	کنترل	۲۰
•/•••٧	(± •/•••••٤٢٧	تست با اریترومایسین	
•/•••٥	(± •/•••••٥١٧	تست با کلاریترومایسین	
•/•٢٣	(± •/•••••٣٦	کنترل	۱۵
•/•٣٠	(± •/•••••٤٨٥	تست با اریترومایسین	
•/•٢٠	(± •/•••••٥١٣	تست با کلاریترومایسین	
•/•٠٨	(± •/•••••٤٨٨	کنترل	۱۰
•/•٠٣	(± •/•••••٦٤١	تست با اریترومایسین	
•/•٠٢٥	(± •/•••••٢٩٦	کنترل	۵
•/•٠٢	(± •/•••••١٦٦	تست با اریترومایسین	
•/•٠٣	(± •/•••••٤٢٢	کنترل	
•/•٠٠٣	(± •/•••••٥٥٩	تست با کلاریترومایسین	
•/•٠٢٥	(± •/•••••٥١٧	تست با کلاریترومایسین	
•/•٠٠٨	(± •/•••••٧٦٦	کنترل	
•/•٠٠٣	(± •/•••••٣٠٢	تست با اریترومایسین	
•/•٠٠٢	(± •/•••••١٨٧	کنترل	
•/•٠٠٢	(± •/•••••٤٩٨	تست با اریترومایسین	
•/•٠٠٢	(± •/•••••٥١٠	کنترل	
•/•٠٠٢	(± •/•••••٤٦٥	تست با کلاریترومایسین	
•/•٠٠٢	(± •/•••••٧٨٦	تست با کلاریترومایسین	

جدول ۲. مقادیر نسبت مهار efflux روده ای سیکلوسپورین توسط اریترومایسین و کلاریترومایسین در غلظت های بکار رفته

Efflux inhibition ratio (EIR) (با مهارکننده کلاریترومایسین)	Efflux inhibition ratio (EIR) (با مهارکننده اریترومایسین)	غلظت دیگوکسین (میکرومولار)
۰/۵۴	۰/۴۴	۲۰
۰/۳۵	۰/۳۵	۱۵
۰/۴۳	۰/۳۰	۱۰
۰/۳۵	۰/۳۹	۵

مهارکننده های P-gp تحت تاثیر قرار نمی گیرد. بنابراین بمنظور رسید که احتمالاً "مهارکننده ها در مرحله جذب از مخاط روده و در پروسه جذب بر سرنوشت دیگوکسین تاثیرگذار باشد (۲۴). در حقیقت افزایش سطوح سرمی دیگوکسین و در نتیجه سمیت آن فقط در مورد مصرف خوراکی دیگوکسین با ماکرولیدها صورت می گیرد که چنین فرضیه ای با نتایج حاصله از تحقیق حاضر تایید گردید. بنابراین نتیجه گیری شد که ماکرولیدها بیشتر سبب افزایش جذب دیگوکسین می شود تا مهار متابولیسم یا دفع آن. در یک مطالعه بروون تن دیگر پیش بینی شده بود که ماکرولیدها از جمله اریترومایسین و کلاریترومایسین پتانسیل متفاوتی برای مهار P-gp داشته باشند (۲۶) لیکن در مطالعه دیگر توسط Tsutsumi و همکارانش چنین نتیجه ای حاصل نگردید، بطوریکه در دوزهای درمانی این ماکرولیدها اثرات مهاری متفاوتی نشان ندادند (۲۶). چنین یافته ای در تحقیق حاضر موردنایید قرار گرفت و در حقیقت اختلاف معنی داری در مقادیر نفوذپذیری روده ای دیگوکسین در حضور اریترومایسین و کلاریترومایسین مشاهده نگردید ($P > ۰/۰۵$) بهر حال بمنظور می رسید مطالعات بیشتر در زمینه دوز ماکرولیدها و فاصله زمانی بین شروع مصرف دوز دیگوکسین و دوز داروی مهارکننده لازم باشد. در ارزیابی انجام شده، برای بررسی میزان کمی نقش P-gp در جذب efflux روده ای دیگوکسین و به عبارتی بررسی نسبت مهار efflux روده ای (Efflux Inhibition Ratio) دارو، نسبت P_{eff} دارو در حالت مهار P-gp efflux (P_{p-gp}) و نیز نفوذپذیری دارو به روش غیر فعال (P_{PD}) محاسبه شد. (P_{p-gp}) با کم کردن P_{eff} از $P_{p-gp, inh}$ control همان $P_{eff, inh}$ می باشد. بنابراین EIR توسط معادله ۳ محاسبه شد (۲۷):

$$EIR = 1 - (P_{eff,control} / P_{eff,inh})^3$$

با فرض مهار کامل P-gp توسط ماکرولیدهای کار شده، EIR برای سیکلوسپورین در حضور اریترومایسین و کلاریترومایسین به ترتیب در محدوده $۰/۴۴ - ۰/۳۰$ و $۰/۳۰ - ۰/۴۴$ و

۴- بحث و بررسی

نتایج مطالعات آماری (t-student) نشان داد که نفوذپذیری روده ای دیگوکسین در هر چهار غلظت در حضور اریترومایسین و کلاریترومایسین افزایش قابل توجهی یافته است ($P < ۰/۰۵$). اگرچه اختلاف قابل توجهی در P_{eff} های حاصل شده از چهار غلظت به کار برده شده از دیگوکسین مشاهده نشده که نشان دهنده عدم وابستگی نفوذپذیری دارو به غلظت است. از این رو نتیجه گیری می شود که حداقل بخشی از تداخلات بالینی مشاهده شده مابین ماکرولیدها و دیگوکسین بستگی به واکنشهای ایندو در سطح جذب دارد. با توجه به نتایج مشاهده شده در پژوهش حاضر جذب دیگوکسین در حضور اریترومایسین و کلاریترومایسین افزایش یافته است و این بدین معنی است که عملکرد پدیده efflux توسط P-gp در سلولهای روده ای توسط ماکرولیدها محدود شده و بنابراین نفوذپذیری دیگوکسین افزایش یافته است. چنین یافته ای با مکانیسمهای پیشنهاد شده برای تداخل ماکرولیدها- دیگوکسین هم سو می باشد. Wakasugi و همکارانش دفع کلیوی دیگوکسین در حضور کلاریترومایسین را بررسی نمودند. نتایج نشان داد که کلیرنس کلیوی دیگوکسین در بیمارانی که دیگوکسین و کلاریترومایسین را همزمان ترشح خوراکی دریافت نموده اند، کاهش می یابد (۱۴). لیکن در مطالعه ای دیگر روند افزایشی در کلیرنس کلیوی دیگوکسین در حضور ماکرولیدها مشاهده گردید (۲۶) بعلاوه مطالعات دیگر روی حیوانات نشان داده است که افزایش میابد (۱۰، ۲۵). البته تاثیر ماکرولیدها بر فعالیت ترانسپورترهای دیگر از جمله پلی پپتید منتقل کننده آنیونهای آلی (Oatp2) نیز محتمل است که نیاز به تحقیقات بیشتر در این زمینه دارد. احتمالاً در انسان باز جذب مجدد دیگوکسین در توبولهای کلیوی توسط ماکرولیدها کاهش می یابد (۲۶). البته مطالعات فارماکوکیتیکی متعدد در انسان نشان داده است که کلیرنس کلیوی دیگوکسین توسط

دیگوکسین که سوبستراتی پمپ برگشت روده ای می باشد مساله بازدهی بدنی کم و متغیر تا حدود زیادی به P-gp در سلولهای اپی تیال روده مربوط است تا انحلال شکل دارویی در روده.

۴- نتیجه گیری

نتایج بدست آمده از تحقیق حاضر با استفاده از تکنیک پرفیوژن روده باریک در رت‌ها نشان می‌دهد که نفوذپذیری روده ای دیگوکسین مستقل از غلظت صورت می‌گیرد. بعلاوه نفوذپذیری گوارشی دیگوکسین در حضور اریتروماسین و کلاریتروماسین در روده کوچک تحت تاثیر قرار گرفته و بطرور معنی داری افزایش می‌یابد. بنابراین در حین تجویز داروی دیگوکسین با داروهای دیگری که مهارکننده و یا القاکننده پمپ برگشتی روده ای هستند باید به امکان بروز تغییرات قابل توجه در غلظت پلاسمایی دارو و در نتیجه احتمال بروز سمیت دارو توجه نمود.

-۰/۳۵-۰/۵۴ به دست آمد و نشان داده می‌شود که -۰/۴۴-۰/۳۷٪ انتقال غیر فعال سیکلوسپورین توسط P-gp مهار می‌گردد (جدول ۲). با توجه به P_{eff} به دست آمده از دیگوکسین در مدل رت و نیز با استفاده از معادله ای که ارتباط بین P_{eff} انسان و رت که را نشان می‌دهد (شکل ۳) (۱۶)، پیش‌بینی می‌شود که ضریب نفوذپذیری برای دیگوکسین در روده انسان $10^{-4} \times 1/45$ سانتیمتر بر ثانیه باشد. بر اساس جدول طبقه بندی بیوفارماسی داروها از لحاظ محلولیت و نفوذپذیری و محاسبه D_0 (Dose number) طبق فرمول زیر (معادله ۴)، ($D_0 = 20/48$)، داروی دیگوکسین در کلاس II (داروهای با محلولیت پایین و نفوذپذیری بالا) قرار می‌گیرد (۲۸).

$$\text{معادله ۴} \quad D_0 = (M/V_0)/Cs$$

M : وزن مولکولی (g) و V_0 : حجم (ml) و Cs : غلظت اشباع (g/ml). بنابراین جذب بالا و متفاوت دیگوکسین در انسان می‌تواند مرتبط با محلولیت کم شکل دارویی باشد. لیکن همانگونه که قبل "نیز اشاره گردید (۱۰، ۱۷)" در مورد

References:

- Funakoshi S., Murakami T., Yumoto R., Kiribayashi Y., and Takano M. Role of P-glycoprotein in pharmacokinetics and drug interactions of digoxin and betamethyldigoxin in rats. *J. Pharm. Sci.*, 2003, 92(7): 1455-63.
- Yao H.M., Chou W.L. The complexity of intestinal absorption and exsorption of digoxin in rats. *Int. J. Pharm.*, 2006, 322(1-2): 79-86.
- Shaw T.R., Howard M.R., Hamer J. Variation in the biological availability of digoxin. *Lancet*, 1972, 2(7772): 303-7.
- Meister W., Benowitz N.L., Benet L.Z. Unchanged absorption of digoxin tablets in patients with cardiac failure. *Pharmacology*, 1984, 28(2): 90-4.
- Marcus F.I., Current status of therapy with digoxin. *Curr. Probl. Cardiol.*, 1978, 3(5): 1-41.
- Chou W.L., Kyle L.E. Differential thermal, solubility, and aging studies on various sources of digoxin and digitoxin powder: biopharmaceutical implications. *J. Pharm. Sci.*, 1979, 68(10): 1224-9.
- Johnson B.F., Lindenbaum J., Budnitz E., Marwaha R. Variability of steady-state digoxin kinetics during administration of tablets or capsules. *Clin. Pharmacol. Ther.*, 1986, 39(3): 306-12.
- Hinderling P.H., Hartmann D. Pharmacokinetics of digoxin and main metabolites/derivatives in healthy humans. *Ther. Drug Monit.*, 1991, 13(5): 381-401.
- Caldwell J.H., Martin J.F., Dutta S., Greenberger N.J. Intestinal absorption of digoxin-3H in the rat. *Am. J. Physiol.*, 1969, 217(6): 1747-51.
- Mayer U., Wagenaar E., Beijnen J.H., Smit J.W., Meijer D.K., Van Asperen J., Borst P., Schinkel A.H. Substantial excretion of digoxin via the intestinal mucosa and prevention of long-term digoxin accumulation in the brain by the mdr 1a P-glycoprotein. *Br. J. Pharmacol.*, 1996, 119(5): 1038-44.
- Chiou W.L., Ma C., Chung S.M., Wu T.C. An alternative hypothesis to involvement of intestinal P-glycoprotein as the cause for digoxin oral bioavailability enhancement by talinolol. *Clin. Pharmacol. Ther.*, 2001, 69(1): 79-81.
- Pedersen K.E., Christiansen B.D., Klitgaard N.A., Nielsen-Kudsk F. Effect of quinidine on digoxin bioavailability. *Eur. J. Clin. Pharmacol.*, 1983, 24(1): 41-7.
- Hager W.D., Mayersohn M., Graves P.E., Digoxin bioavailability during quinidine administration. *Clin. Pharmacol. Ther.*, 1981, 30(5): 594-9.
- Wakasugi H., Yano I., Ito T., Hashida T., Futami T., Nohara R., Sasayama S., Inui K. Effect of clarithromycin on renal excretion of digoxin: interaction with P-glycoprotein. *Clin. Pharmacol. Ther.*, 1998, 64(1): 123-8.
- Laberge P., Martineau P. Clarithromycin-induced digoxin intoxication. *Ann. Pharmacother.*, 1997, 31(9): 999-1002.
- Zakeri-Milani P., Valizadeh H., Tajerzadeh H., Azarmi Y., Islambolchilar Z., Barzegar S., Barzegar-Jalali M. Predicting human intestinal permeability using single-pass intestinal perfusion in rat. *J. Pharm. Pharm. Sci.*, 2007, 10(3): 368-79.
- Zakeri-Milani P., Barzegar-Jalali M., Tajerzadeh H., Azarmi Y., Valizadeh H., Simultaneous determination of naproxen,

- ketoprofen and phenol red in samples from rat intestinal permeability studies: HPLC method development and validation. *J. Pharm. Biomed. Anal.*, 2005, 39(3-4): 624-30.
18. Valizadeh H., Zakeri-Milani P., Islambulchilar Z., Tajerzadeh H. A simple and rapid high-performance liquid chromatography method for determining furosemide, hydrochlorothiazide, and phenol red: applicability to intestinal permeability studies. *J. AOAC Int.*, 2006, 89(1): 88-93.
19. Ernest D., Alfert E.D., Brenda M., Cross B.M., McWilliam A.A.E., CCAC, Guide to the care and use of experimental animals, Canadian Council on Animal Care. 1993, 1: 1-150.
20. United States Pharmacopeia (USP) 30. 2007.
21. Swenson E.S., Milisen W.B., Curatolo W. Intestinal Permeability Enhancement: Efficacy, Acute Local Toxicity, and Reversibility. *Pharmaceutical Research*, 1994, 11(8): 1132-1142.
22. Komiya I., Park J.Y., Kamani A., Ho N.F.H., Higuchi W.I. Quantitative mechanistic studies in simultaneous fluid flow and intestinal absorption using steroids as model solutes. *Int. J. Pharm.*, 1980, 4: 249-262.
23. Levitt M.D., Kneip J.M., Levitt D.G. Use of laminar flow and unstirred layer models to predict intestinal absorption in the rat. *J. Clin. Invest.*, 1988, 81: 1365-1369.
24. Tsutsumi K., Kotegawa T., Kuranari M., Otani Y., Morimoto T., Matsuki S., Nakano, S. The effect of erythromycin and clarithromycin on the pharmacokinetics of intravenous digoxin in healthy volunteers. *J. Clin. Pharmacol.*, 2002, 42(10): 1159-64.
25. Shinkel A.H., Mayer U., Wagenaar E., Mol C.A., Van Deemter L., Smit J.J., Van Der Valk M.A., Voordouw A.C., Spits H., Van Tellingen O., Zijlmans J.M., Fibbe W.E., Borst P., Normal viability and altered pharmacokinetics in mice lacking mdr1-type (drug-transporting) P-glycoproteins. *Proc. Natl. Acad. Sci. U S A*, 1997, 94(8): 4028-33.
26. Wang L., Kitaichi K., Hui C.S., Takagi K., Sakai M., Yokogawa K., Miyamoto K.I., Hasegawa T. Reversal of anticancer drug resistance by macrolide antibiotics in vitro and in vivo. *Clin. Exp. Pharmacol. Physiol.*, 2000, 27(8): 587-93.
27. Varma M.V., Kapoor N., Sarkar M., Panchagnula R. Simultaneous determination of digoxin and permeability markers in rat in situ intestinal perfusion samples by RP-HPLC. *J. Chromatogr. B Analyt. Technol. Biomed. Life Sci.*, 2004, 813(1-2): 347-52.
28. Rinaki E., Valsami G., Macheras P. Quantitative Biopharmaceutics classification system: The central role of dose/solubility ratio. *Pharm. Res.*, 2003, 20(12): 1917-1925.